

SO_x-露點測定에 關한 研究

(煉炭 溫水보일러의 腐蝕問題에 關하여)

蔡 載 宇 * 龍 淇 重 **

A Study on the Measurement of SO_x-Dew Point
(About the Corrosion of Briquet-Burning Hot Water Boiler)

Jae-Ou Chae, Gee-Joong Yong

ABSTRACT

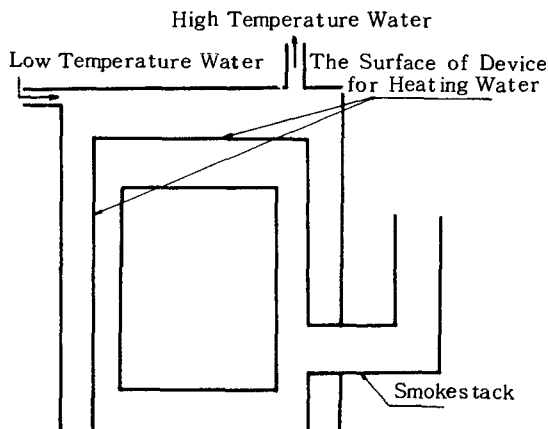
In the briquet-burning hot water boiler the SO_x-dew point is calculated and found to be between 130 °C and 154 °C. The corrosion rate depends on the surface temperature and the concentration of the condensate on the surface. The concentration of the condensate is decided according to the difference between SO_x-dew point and the surface temperature. When the surface temperature is 80 °C, the concentration of the condensate is also high (0.15 N). Therefore the high concentration and high temperature promote the high corrosion rate of $14 \times 10^{-3} g / 100 cm^2 \cdot hr$ on the SS 41 material. On the other hand, when the surface temperatures are 60 °C and 40 °C, the concentrations and the corrosion rates are reduced dramatically to 0.11 N, $8.6 \times 10^{-3} g / 100 cm^2 \cdot hr$ and $5 \times 10^{-4} g / 100 cm^2 \cdot hr$ respectively.

* 仁荷大學校 工大 副教授

** 仁荷大學校 大學院

I. 序論

石炭중에 含有되어 있는 硫黃成分이 低温腐蝕의 主原因이 되고 있음을 오래전부터 널리 알려진 사실이다. 國內 無煙炭은 대략 1% (重量比率) 미만의 상당히 적은 硫黃成分을 갖고 있으나, 연탄난로의 煙筒이 한 겨울철 난방용으로 밖에 넘기지 못하는 것을 보면 이 적은 硫黃含量의 低温腐蝕效果를 감히 看過할 수 없다. 煤炭 温水보일러에서는 燃燒筒에서 煤炭의 燃燒가스로부터 燃燒筒 주위에 설치된 温水加熱裝置로 熱傳達이 일어나며, 이렇게 加熱된 温水의 温度는 보통 60°C 정도를 維持하게 된다. 따라서 燃燒가스가 燃燒筒 内部 자체에서 이미 주위의 温水加熱裝置로 熱을 빼앗김으로, 이 裝置의 表面에서 温水 자체의 温度와 거의 같은 温度로 冷却되게 되어 温水加熱裝置의 燃燒가스와 접촉하는 表面에서 우선적으로 低温腐蝕이 發生한다. 더 나아가 燃燒가스가 冷却되어 감에 따라 煙筒에서도 低温腐蝕이 일어나게 된다. (Fig.1) 은 煤炭 温水보일러의 低温腐蝕이 發生하는 部位를 포함한 概略圖이다.



(Fig. 1) Portion of Low Temperature Corrosion of Briquet-Burning Hot Water Boiler

최근에 와서 煤炭 温水보일러의 補給增加에 따라 低温腐蝕과 壽命問題는各界로부터 상당히 實제적인 관심을 불러 일으키고 있다. 따라서 煤炭 温水보일러에서의 低温腐蝕 Mechanism을 紛明하는 것은 무엇보다 먼저先決되어야 할 興味있는 研究이다.

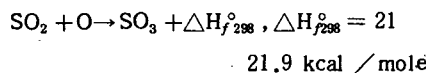
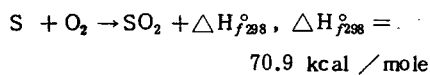
煤炭에 含有되어 있는 硫黃成分은 燃燒時에 SO₂로 酸化되고, 이 二酸化硫黃가스의 一部가 여러 變數의 影響아래 SO₃로 酸化된다. SO₂는 燃燒가스와 함께 대부분 煙筒을 통해 대기중으로 방출되는 한편, SO₃는 燃燒가스 중에 있는 水蒸氣와 反應하여 黃酸蒸氣가 發生하고, 이 黃酸蒸氣는 温度가 낮은 表面에서 凝縮되어 低温腐蝕의 原因이 된다. 따라서 燃燒가스중에 포함된 黃酸蒸氣의 濃度 및 水蒸氣의 濃度를 測定하고 이 燃燒가스가 이를 濃度에 따라 어느 温度에서 凝縮이 일어나는지를 찾아내야 한다.

上記의 凝縮이 일어나기 시작하는 温度를 SOx-露點이라고 칭하는데, 實제의 低温腐蝕이 發生하는 表面의 温度는 SOx-露點보다 상당히 낮은 것이 보통이다. 그런데 燃燒가스가 갖는 SOx-露點과 實제 低温腐蝕이 일어나는 表面溫度의 差異에 따라 凝縮液의 黃酸濃度가 다르므로, 結論的으로 煤炭 温水보일러의 腐蝕은 煤炭의 燃燒가스 자체가 갖는 SOx-露點과 實제 低温腐蝕이 發生하는 部位의 表面溫度에서의 凝縮液의 黃酸濃度를 測定함으로써 그 紛明이 可能할 것이다. 따라서 本 研究에서는 煤炭 温水보일러에서 燃燒가스가 찾는 SOx-露點 및 表面溫度에 따른 凝縮液의 黃酸濃度를 測定하고, 이 보일러에서 使用되는 여러 가지 材質들의 腐蝕速度를 언급하고자 한다.

II. 低温腐蝕

II-1. 低温腐蝕의 Mechanism

모든 燃料는 多少間의 硫黃成分을 含有하고 있으며, 煉炭의 主原料가 되는 國內 無煙炭의 硫黃成分은 約 0.75 wt. %로서 比較的 낮은 편이다. 이 硫黃成分의 一部가 煉炭이 燃燒할 때 다음과 같은 化學反應式에 의하여 硫黃酸化物이 生成된다.



여기서 $\Delta H_f^{\circ}_{298}$ 는 化合物 1 mole이 그 構成元素들로부터 760 mmHg, 298 K인 狀態에서 生成될 때 放出(−)하거나 吸收(+)하는 热量을 나타내는 標準生成enthalpy이다.

低温腐蝕과 직접적인 연관이 있는 SO₃의 生成(低温腐蝕의 主原因인 H₂SO₄는 SO₃와 水蒸氣의 化學反應으로 生成)은 다음과 같은 因子들의 影響을 받게 된다.

- (a) 煉炭에 含有되어 있는 硫黃成分量
- (b) 燃燒空氣量
- (c) 燃燒溫度
- (d) 燃燒ガス의 燃燒筒內에서의 滞留時間
- (e) 煉炭내에 포함되어 있어서 觸媒 役割을 하는 金屬酸化物

따라서 SO₃ 生成量은 우선 煉炭의 硫黃成分 含有量에 比例하여 發生하며, 油類燃燒裝置에서는 通常의 過剩空氣比 ($\lambda = 1.05 \sim 1.2$)에서 硫黃成分의 大略 2~5% 정도가 SO₃로 급격히 變換되며, 이 보다 큰 過剩空氣比에서의 SO₃ 生成은 평형을 이루고 있는데, 이는 燃燒空氣가 增加함에 따라 燃燒溫度가 내려가서 SO₃ 生成에 必要한 O₂의 热分野가 줄어들기 때문이다.^{b)} 따라서 보통의 경우 過剩空氣比는 $\lambda = 1.2$ 以上 (특히 煉炭燃燒時)이므로 實際에 있어서 過剩空氣比의

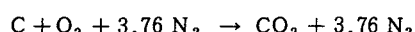
增加가 SO₃ 生成에 미치는 影響은 거의 없다고 볼 수 있다. 또한 SO₂가 SO₃로 酸化하여 热力學的 平衡濃度에 도달 하려면 상당한 反應時間(6秒以上)이 必要하므로, 보통 燃燒筒 内部의 煉炭 燃燒區域을 지나가는 燃燒ガス의 滞留時間으로는 SO₂와 SO₃가 결코 热力學的 平衡에 도달할 수 없다.

煉炭의 燃燒ガス는 궁극적으로, 硫黃成分의 酸化物인 大部分 SO₂와 앞서 언급한 여러 가지 因子에 따라 微量의 SO₃를 포함하게 된다. 이 SO₃ 가스는 燃燒ガス中에 항상 存在하는 水蒸氣와의 강한 親和力 때문에 다음과 같은 反應으로 黃酸蒸氣가 生成된다.



이렇게 형성된 黃酸蒸氣는 煙筒 주위의 温水加熱裝置의 表面이나 煙筒表面의 温度가 낮아짐에 따라서 凝縮하기 시작하며, 凝縮된 液의 主成分은 黃酸과 水分이므로 SO_x-露點은 燃燒ガス中的 水蒸氣와 黃酸蒸氣의 分壓만의 합수로서 결정되어 질 수 있다. 물론 黃酸蒸氣나 水蒸氣 以外에 燃燒ガス의 成分들 중에 水溶性이 있는 成分들(주로 N₂, CO₂, CO, SO₂)은 SO_x-露點에 影響을 줄 수 있으나, 그들의 燃燒ガス 中의 分壓이 작을 때에는 水溶性 또한 작으며 따라서 그 影響도 거의 無視할 수 있다.²⁾

한 예를 들어 SO₂가 물에 溶解되는 量을 計算해 보기로 한다. 煉炭 1 장의 重量은 約 3,200 g(以下 煉炭 1 장을 燃燒시킬 때를 基準으로 計算한다)이며 煉炭中에 含有되어 있는 炭素 C의 量을 50%로 보면 C의 量은 1,600 g이다.

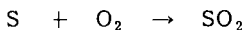


$$12 g(1 \text{ mole}) \quad 22.4 \ell + 3.76 \times 22.4 \ell \\ = 4.76 \times 22.4 \ell$$

過剩空氣比 $\lambda = 1$ 일 때 煉炭의 燃燒ガス의 體積은 標準狀態에서

$$\frac{4.76 \times 22.4 \times 1,600}{12} = 14,216.53 \ell \text{ 이다.}$$

煉炭중의 硫黃 S의 含有量은 定量分析에 의해서 0.758 %이고 S가 SO₂로 100 % 酸化된다고 假定하더라도



$$32 g (1 \text{ mole}) \quad 22.4 \ell$$

煉炭 燃燒時 發生하는 SO₂의 體積은 標準狀態에서

$$\frac{0.00758 \times 3200 \times 22.4}{32} = 16.98 \ell \text{ 이 된다.}$$

따라서 燃燒ガス중의 SO₂濃度 C_{so2}는

$$C_{so2} = \frac{16.98}{14,216.53 + 16.98} \times 10^6 =$$

$$1,193 \text{ ppm}$$

이 SO₂의 分壓 P_{SO2}는, 燃燒ガス의 總壓을 P = 760 mmHg로 볼 때

$$P_{SO2} = 1,193 \times 10^{-6} \times 760 \text{ mmHg} = 0.907 \text{ mmHg} \text{ 이 된다.}$$

SO₂의 水溶性은 分壓과 温度에 따라 (Table 1)에 주어져 있다.³⁾ 이 Table에 의해서 温度 20 °C, 分壓 0.907 mmHg 일 때 물 1000 g에 溶解되는 SO₂의 量을 計算하면

$$0.2 + \frac{0.907 - 0.5}{0.2 - 0.5} (0.5 - 0.2) =$$

$$0.374 g \text{ 이다.}$$

따라서 물의 量이 5 g(本研究에서 第2 燥縮器에서의 燥縮된 물의 量은 보통이 보다 적다)이라고 하면 이 물에 溶解되는 SO₂의 量은

$$0.374 \times \frac{5}{1000} = 1.87 \times 10^{-3} g$$

이것의 體積은

$$\frac{1.87 \times 10^{-3} \times 22.4}{64} = 6.545 \times 10^{-4} \ell$$

가 된다.

以上의 計算은 λ = 1인 경우인데, 實際는 過剩空氣比가 이보다 훨씬 크므로 SO₂가

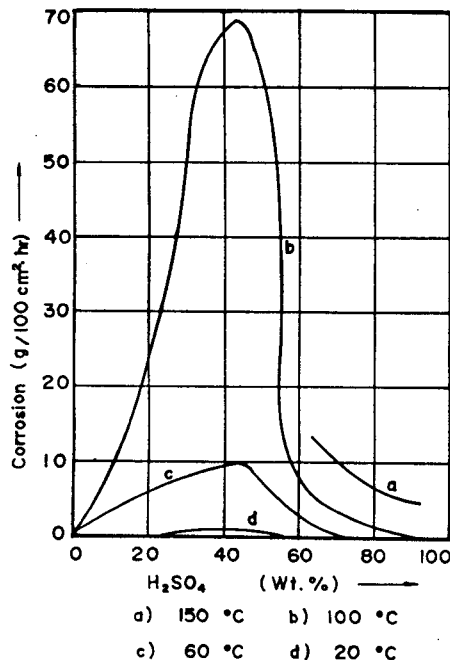
차지하는 分壓은 더 작아진다. 따라서 低温腐蝕이 일어나는 表面에 凝結되는 凝縮液中에 溶解되는 SO₂의 量은 더욱 작아지므로 그 量은 無視할 수 있다.

(Table. 1) Solubility of SO₂

GMs. SO ₂ Per 1000 gms H ₂ O	Partial pressure of SO ₂ in mmHg at					
	0°	1°	10°	15°	20°	30°
0.2	0.25	0.3	0.3	0.3	0.5	0.6
0.5	0.6	0.7	0.75	0.8	1.2	1.7
1.0	1.2	1.5	1.75	2.2	3.2	4.7
1.5	1.9	2.6	3.1	3.8	5.8	8.1
2.0	2.8	3.7	4.6	5.7	8.5	11.8
3.0	5.1	6.9	7.9	10.0	14.1	19.7
5.0	9.9	13.5	15.6	19.3	26.0	36.0
7.0	15.2	20.6	23.6	28.0	39.0	52.0
10.0	23.3	31.0	37.0	44.0	59.0	79.0
15.0	38.0	51.0	59.0	71.0	92.0	125.0
25.0	69.0	92.0	105.0	127.0	161.0	216.0
50.0	148.0	198.0	226.0	270.0	336.0	452.0
75.0	228.0	307.0	349.0	419.0	517.0	688.0
100.0	308.0	417.0	474.0	567.0	698.0	
150.0	474.0	637.0	726.0			
200.0	646.0	857.0				

II - 2. 低温腐蝕 速度

表面溫度가 낮아짐에 따라 凝縮되는 液의 黃酸濃度와 低温腐蝕이 일어나는 表面溫度는 腐蝕의 速度를 결정하는 主要한 因子들이다. 그런데 表面에 凝縮되는 凝縮液의 黃酸濃度는



(Fig. 2) Corrosion of Iron to the Concentration of H₂SO₄ and Temperature

表面溫度(凝縮溫度)가 몇 度인가에 따라서 결정된다. 즉, 凝縮이 시작되는 SO_x⁻ 露點보다 表面溫度가 점차로 낮아질수록 凝縮되는 黃酸에 比하여 水蒸氣의 量이 더 많아지므로 黃酸濃度는 차차로 떨어지게 된다. 그런데 실제의 最大腐蝕은 黃酸濃度가 100 %인 狀態에서 일어나지 않고, 대략 材質에 따라 30~43 %의 點에서 일어난다. (Fig. 2)는 黃酸濃度에 따른 鐵의 腐蝕速度를 나타내고 있는데 이 경우는 濃度가 40 %정도에서 最大의 腐蝕이 일어난다. 또한 같은濃度라도 表面의 溫度에 따라 腐蝕의 정도에 매우 큰 差異가 있는데, 이는 腐蝕을 일으키는 黃酸과 鐵의 化學反應이 溫度에 상당히 민감한것을 나타낸다.

III. SO_x⁻ 露點

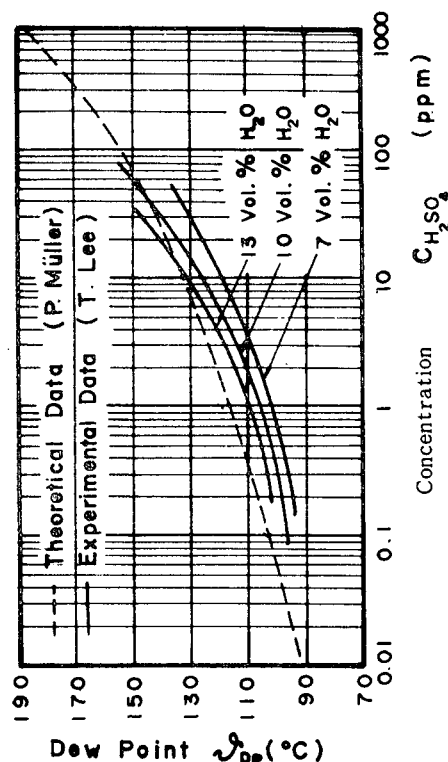
低温腐蝕을 紛明하기 위해서는 우선적으로 燃燒ガス 자체가 갖고 있는 SO_x⁻ 露點을 알아야 한다. Haase 와 Borgmann⁴⁾ 은 SO_x 露點과 黃酸蒸氣 및 水蒸氣 分壓 사이의 函數關係를 다음과 같은 式으로 나타내고 있다.

$$\begin{aligned}\theta (\text{°C}) &= 122.4 + 27.6 \log P_{\text{H}_2\text{O}} (\text{mmHg}) + \\&\quad 18.7 \log P_{\text{H}_2\text{SO}_4} (\text{mmHg}) \\&= 255.0 + 27.6 \log P_{\text{H}_2\text{O}} (\text{at}) + \\&\quad 18.7 \log P_{\text{H}_2\text{SO}_4} (\text{at})\end{aligned}$$

단, 이 式은

$$\begin{aligned}7 \times 10^{-2} \text{ at} < P_{\text{H}_2\text{O}} < 1 \text{ at} \\1 \times 10^{-6} \text{ at} < P_{\text{H}_2\text{SO}_4} < 2 \times 10^{-4} \text{ at}\end{aligned}$$

의 범위에서 有效하다. (Fig. 3)은 理論의 SO_x⁻ 露點 計算과 實際의 測定結果를 보여 주고 있는데, 燃燒ガ스중의 黃酸蒸氣 및 水蒸氣濃度의 領域內에서 거의 일치하는 값들을 나타내고 있다. 따라서 本研究에서는 燃燒ガ스중의 黃酸蒸氣 및 水蒸氣濃度를 測定한 후 Haase - Borgmann 式에 의하여 SO_x⁻ 露點을 구하였다.



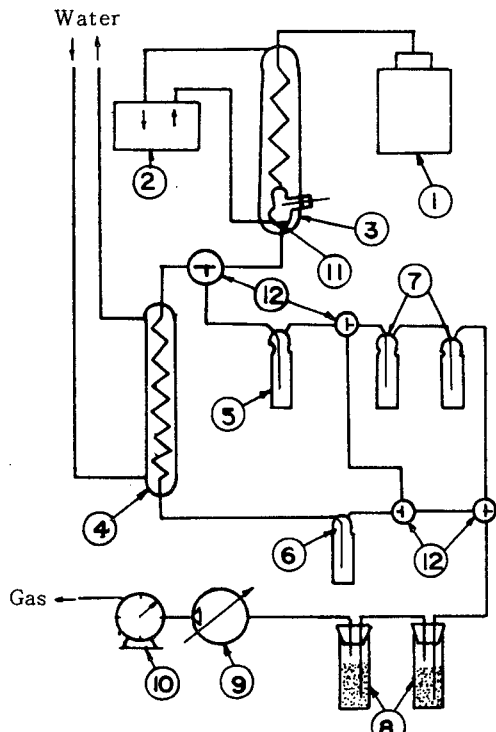
(Fig. 3) Variation of SO_x Dew Point to Concentration of H₂SO₄ and H₂O

IV. 實驗裝置 및 實驗方法

IV-1. 實驗裝置

本研究에서 SO_x⁻ 露點을 구하기 위한 實驗裝置의 概略圖는 (Fig. 4)와 같으며, 이裝置는 크게 煤炭 溫水보일러와 煤炭의 燃燒ガス를 採取하여 燃燒ガ스중의 黃酸蒸氣 및 水蒸氣의濃度를 測定할 수 있는 裝置로構成되어 있다. 煤炭 溫水보일러 1은 1口3炭보일러를 使用하였으며, 燃燒ガ스를 最大한燃燒直後 狀態로 採取하기 위하여 (Fig. 5)와 같이 보일러 뚜껑의 안쪽부분을 절단하여 煤炭의 윗부분에 採取管의入口를 設置하였다. 보일러에서 第1凝縮器와 第2凝縮器까지의連結部分은 採取된 燃燒ガ스와 化學的反応이

最大한 일어나지 않도록 유리관과 Stainless 管 및 Silicone Tube 를 使用하였으며, 第 2 凝縮器入口까지의 모든 管內에서 温度 降下에 의한 凝縮을 防止하기 위하여 Glass wool로 保溫시켰다. 그리고 燃燒ガス가 第 1 凝縮器를 通過할 때 黃酸蒸氣가 凝結되어 안개모양의 液滴이 되는데 이것이 이곳을 그대로 通過한다면 凝縮液의 黃酸濃度를 測定하는데 큰 誤差를 갖게 되므로 이 液滴들을 잡아낼 수 있는 微細한 細孔의 Filter 를 (Fig. 6) 과 같이 第 1 凝縮器의 下部에 삽입시켰으며, 새로운 實驗을 할 때마다 乾燥시킨 Filter로 交換하였다.



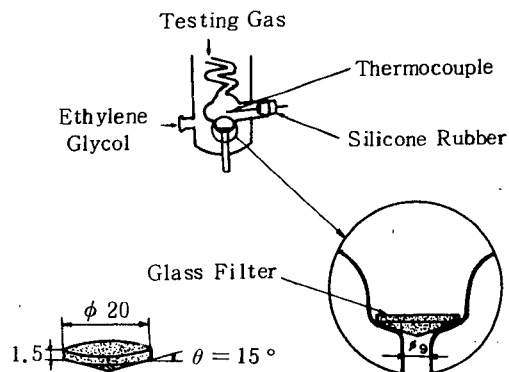
- 1. Briquet - Burning Boiler
- 2. Thermostat
- 3. Condenser 1
- 4. Condenser 2
- 5. Liquid Receiver
- 6. Liquid Receiver
- 7. Water Trap
- 8. Drying Bottle
- 9. Vacuum Pump
- 10. Gas Meter
- 11. Filter
- 12. Three Way Cock

(Fig. 4) Schematic Diagram of Experimental Apparatus

換하였다. 또한 Thermostat 가 부착된 恒温槽에 의하여 調節된 第 1 凝縮器의 温度를 正確히 測定하기 위하여 (Fig. 6) 에서와 같이 热電對를 設置하여 計測하였다.



(Fig. 5) The Extracting Portion of Combustion Gas



(Fig. 6) The First Condenser with Fitted Filter

한편 凝縮液의 黃酸濃度를 測定한 후 보일러의 材質의 腐蝕速度를 測定하기 위하여 3 개의 恒温槽를 使用하였으며, 그들의 温度 調節범위는 實際 腐蝕이 일어나는 表面溫度인 100 °C 未満의 것들로 충분하였다.

IV - 2. 實驗方法

우선 燃燒ガス중의 黃酸蒸氣 및 水蒸氣의濃度測定 實驗에서는, 實驗을 시작하기 前에 第 1, 2 凝縮器를 蒸溜水로 洗滌하여 乾燥시

其後, Silica Gel을 0.1 mg 까지 测定可能한 천칭으로 計量하여 乾燥瓶 8에 넣고 모든 3方 Cock를 가스 採取狀態로 調節한다. 그런데 煉炭溫水보일러의 使用者側에서 煉炭 1장을 燃燒시키는데 보통 8時間을 택하므로, 本實驗에서도 燃燒時間이 이 정도가 되도록 가스排出機와 보일러 空氣子母의 開度를 調節하여 煉炭을 着火시킨 後, 採取ガス의 流量이 12ℓ/min가 되도록 真空펌프를 作動시킨다. 그러면 恒溫槽에 의해서 Ethylene Glycol로 渦度調節(常溫~180 ℃)을 할 수 있는 第1凝縮器를 通過하여 나온 가스는 常溫의 물을 순환시키는 第2凝縮器를 通過하면서 완전히 冷却된 後, 7의 Water Trap과 8의 乾燥瓶을 거쳐 10의 Gas Meter를 通해서 排出되게 된다. 이때 第1凝縮器에서의 凝縮液은 收集瓶 5에 모이고, 第2凝縮器에서의 凝縮液은 收集瓶 6에 모이게 된다. 각각의 收集瓶과 凝縮器內에 있는 凝縮液은 小量이기 때문에 정확한 計量을 할 수가 없으므로, 第1凝縮器와 第2凝縮器 각각에 對해서 다음과 같은 稀釋方法을 使用하여 化學的인滴定에 의해濃度를 测定한 後, 이들 값에 의하여 黃酸蒸氣와 水蒸氣의濃度를 計算하였다. 단, 다음에서 添字_i가 1일 때는 第1凝縮器, 2일 때는 第2凝縮器에 대한 것을 뜻한다.

V_{1i} : 凝縮液을稀釋시키기 위한 第1蒸溜水의 量 (mℓ)

V_{2i} : 凝縮液을稀釋시키기 위한 第2蒸溜水의 量 (mℓ)

x_i : V_{1i} 에 의한稀釋液의濃度를 测定하기 위해서 取한 量 (mℓ)

N_{1i} : V_{1i} 에 의한稀釋液의 黃酸濃度 (Normal濃度)

N_{2i} : V_{1i} 에 의한稀釋液에서 x_i 만큼 제외한 量과 V_{2i} 를 합하여凝縮器를 다시稀釋시킨液의 黃酸濃度 (Normal濃度)

$$P_i : N_{1i} / N_{2i}$$

第1, 2凝縮器에서凝縮된液의總合 V_c 를 위의記號를 使用하여 나타내면

$$V_c = \sum_{i=1}^2 V_{ci} = \sum_{i=1}^2 [x_i + \frac{V_{1i} + V_{2i}}{P_i - 1} - \frac{V_{1i}}{1 - (1/P_i)}] (m\ell)$$

이 된다. 또한凝縮液의黃酸濃度 N_{ci} 는

$$N_{ci} = N_{1i}(V_{1i} + V_{ci}) / V_{ci}$$

이 된다. 따라서 第1, 2凝縮器의凝縮液 중에 含有되어 있는 黃酸量의總合 M_s 는

$$M_s = \sum_{i=1}^2 [\frac{N_{ci} \times V_{ci} \times 49.04}{1000}] (g)$$

이다. 黃酸 1 mole (98.08 g)은 標準狀態 (273 k, 760 mmHg)에서 22.4 ℓ의體積을 차지하므로, M_s 가 차지하는體積 V_s 는

$$V_s = \frac{22.4 M_s}{98.08} (\ell)$$

가 된다. 黃酸生成 $H_2O + SO_3 \rightarrow H_2SO_4$ 에서水分의體積(液體)은 V_c 로 表示할 수 있으며,凝縮液의密度를 1 g/cm³(실제는 이보다크지만誤差는 0.5%未滿이기 때문에黃酸에의한密度의增加量은無視⁵⁾)라 보면 이것이 차지하는量은 $V_c g$ 으로 나타낼 수가 있다. 또한 Silica Gel에서의吸水量은 $M_g g$ 으로 하면 물이水蒸氣状态로서 차지하는體積 V_w 는標準狀態에서

$$V_w = \frac{22.4 (V_c + M_g)}{18} (\ell)$$

이 된다. 採取ガス의體積은 Gas Meter에의해서計量된排出ガ스의體積(V_E)에水蒸氣와黃酸蒸氣의體積을 합한 것이다. 그런데排出ガ스의體積을標準狀態로換算하면(V'_E)

$$V_E = k \frac{273.15 V'_E}{173.15 + t}$$

단, k : 排出ガス 壓力 (mmHg) / 760 mmHg

t : 排出ガス 温度 (°C)

가 된다. 따라서 標準狀態에서 採取ガス의 體積 V 는

$$V = V_E + V_s + V_w \quad (\ell)$$

이다. 이들 式으로부터 水蒸氣와 黃酸蒸氣의 濃度는 각각

$$C_{H_2O} = V_w / V$$

$$C_{H_2SO_4} = V_s / V$$

이 되며, 이들 濃度로부터 각각의 分壓은

$$P_{H_2O} = C_{H_2O} \times P$$

$$P_{H_2SO_4} = C_{H_2SO_4} \times P$$

단, P : 採取ガス 壓力 (\approx 大氣壓) 이 된다.

한편 보일러 材質의 腐蝕濃度를 測定하기 위하여 本 研究에서는 全面腐蝕 方法을 採擇하였으며, 重量變化에 의한 測定 즉 重量式測定에 의하여 腐蝕速度를 測定하였다. 試片은 加工을 簡게하고 表面積을 크게 하기 위하여 板材를 使用하였는데, 특히 試片 SS 41은 實驗前에 酸化皮膜이나 흠 等을 除去하고 均一한 表面狀態를 附與하기 위하여 研磨에 의한 表面다듬질을 하였다. 또한 腐蝕에 影響을 미치게 할 油脂皮膜을 除去하기 위하여 알코올로 洗淨하였다.

SOx- 露點 測定 實驗으로부터 第 1 凝縮器의 温度에 따라 黃酸濃度는 變한다. 따라서 이곳에서의 温度가 40 °C ~ 80 °C 범위일때 最大濃度, 中間濃度 및 最小濃度인 0.15 N (0.735 wt. %), 0.08 N (0.392 wt. %) 및 0.01 N (0.049 wt. %)의 세 値을 擇하여, 이와 같은 濃度의 黃酸溶液을 만들어 보일러의 뚜껑과 燃燒ガス 出口部分의 材質인 SS 41과 煙筒의 材料로 使用하고 있는 힘석 및 PVC의 3種類 試片을 위에서와 같이 준비한 後 温度가 40 °C, 60 °C, 80 °C로 유지되는 恒溫槽에 각각 넣었다.

腐蝕이 된 後에는 나일론 부러쉬로 조심스럽게 문질러 表面의 附着物을 완전히 除去하였으며, 重量을 測定하기 위하여 0.1 mg 까지

計量할 수 있는 천칭을 使用함으로써 精密을 기하였다.

V. 實驗結果 및 考察

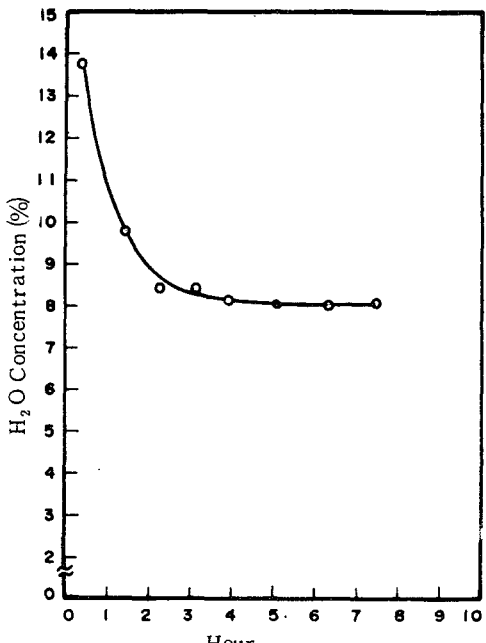
V - 1. 燃燒ガス의 SOx- 露點

前節에 언급된 裝置와 計算에 의하여 얻은 煉炭의 燃燒ガス중의 黃酸蒸氣 및 水蒸氣濃度는 (Fig. 7) 과 (Fig. 8)에서와 같다.

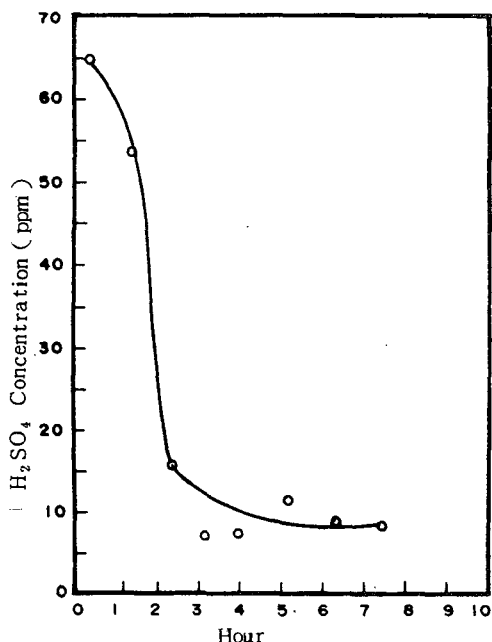
(Fig. 7)에서 보면 水蒸氣의 濃度는 燃燒時間에 따라 減少하는데, 着火後 2時間 정도까지는 濃度가 급격히 減少하다가 그 以後에는 거의 一定한 濃度를 나타내고 있다. 다시 말하면 燃燒初期 2時間동안 煉炭에 含有되어 있는 水分이 燃燒ガス 温度에 의해 일단 除去되어, 그 以後에는 燃燒가 되고 있는 煉炭部位의 高温에 의한 蒸發水分과 燃燒空氣中에 含有되어 있는 小量의 水分에 의하여 水蒸氣의 濃度가 거의 一定하게 유지되게 된다. 이에 따라서 水蒸氣의 濃度는 初期 13.5%에서 2時間 以後에는 8% 정도로 一定하게 됨을 알 수 있다.

黃酸蒸氣의 濃度도 (Fig. 8)에서 보듯이 着火後 25分이 지난 뒤에 이미 約 64 ppm의 높은 濃度를 보이나 時間이 경과함에 따라 급격히 減少하여 約 2時間 以後에는 最初狀態 (着火後 25分)濃度의 1/6 정도로 거의 一定한 値을 보이고 있다. 이것은 水蒸氣의 濃度와 비슷한 경향을 나타내고 있으므로, 黃酸蒸氣의 生成反應은 水蒸氣의 濃度에 比例함을 알 수 있다. 다시 말하면 燃燒初期에 黃酸蒸氣의 濃度가 높은 것은 SO₃와 反應하여 黃酸蒸氣를 生成하는 水蒸氣의 濃度가 높고, 또한 生成反應에 충분한 初期의 燃燒溫度가 存在할 수 있기 때문이다. 이 濃度의 범위는 7 ppm에서 64 ppm 사이에 있으며, 높은 黃酸蒸氣의 濃度가 着火後 2時間 정도내에서 生

成된다는事實을 확인할 수 있다.

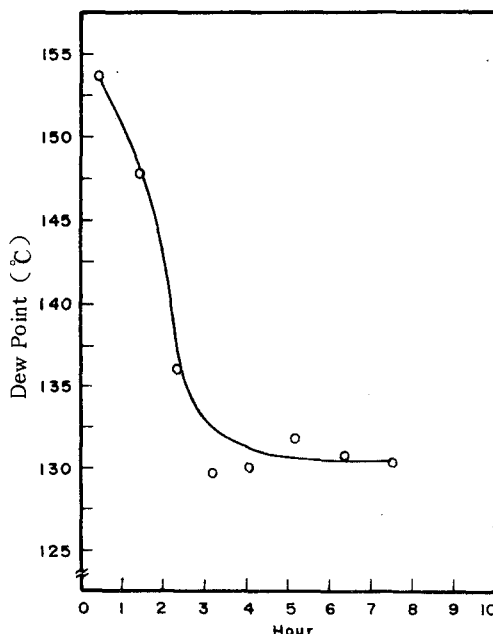


(Fig. 7) Variation of the Concentration of H₂O with the Passage of Time after the Ignition of Briquet



(Fig. 8) Variation of the Concentration of H₂SO₄ with the Passage of Time after the Ignition of Briquet

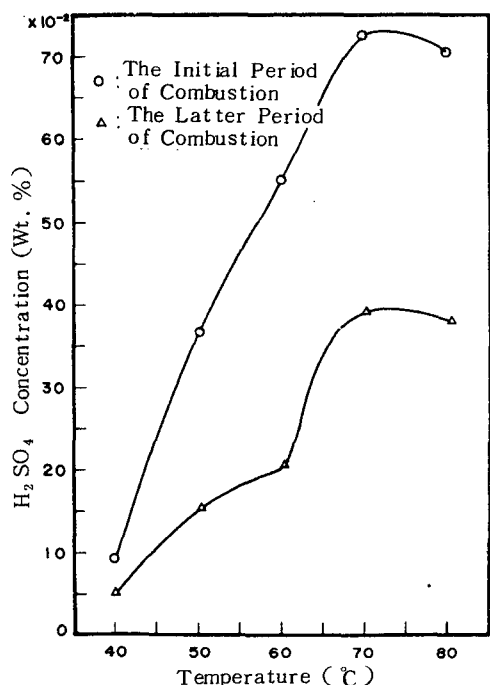
(Fig. 7)과 (Fig. 8)로부터 水蒸氣와 黃酸蒸氣의 分壓을 구하여 Ⅲ節의 Haase-Bormann의 式을 使用하여 얻은 燃燒ガス의 SO_x-露點은 時間에 따라 (Fig. 9)에서처럼 變한다. 燃燒初期에는 黃酸蒸氣 및 水蒸氣의 濃度가 높으므로 SO_x-露點은 約 154 ℃로 매우 높은 편으로 이는 煉炭의 燃燒ガス가 初期狀態에서는 比較的 높은 温度 (154 ℃)에서도 이미 凝縮이 일어나 低温腐蝕을 起起시킬 수 있음을 의미한다. 따라서 煉炭을 어느정도 乾燥시킨 後水分이 되도록 적게 된 狀態에서 使用함이 바람직하다. 그리고 着火後 約 2時間以上이 경과한 後에는 燃燒ガス중에 黃酸蒸氣 및 水蒸氣의 濃度가 燃燒 初期보다 훨씬 낮아진 一定한 값을 갖게 되므로 이에 따라 SO_x-露點도 約 130 ℃정도로 一定하게 유지된다. 그러므로 煉炭 温水보일러에서의 低温腐蝕은 燃燒 初期를 除外한 大部分의 경우에는 大略 130 ℃정도에서 이미 表面에서의 黃



(Fig. 9) Variation of SO_x Dew Point with the Passage of Time after the Ignition of Briquet

酸을 含有하는 凝縮液에 의해 시작된다고 볼 수 있다. 그런데 실제 温水加熱裝置나 煙筒 表面에서의 温度는 이보다 훨씬 낮으므로 이에 따른 凝縮液의 濃度나 量이 變하게 된다.

(Fig. 10)은 SOx^- 露點보다 낮은 表面 温度와 凝縮液中の 黃酸濃度를 나타내고 있다. 그런데 이미 언급한 바와 같이 燃燒初期와 燃燒後期는 燃燒gas內의 黃酸蒸氣 및 水蒸氣濃度에 큰 差異가 있으므로 이에 따라 凝縮液 中의 黃酸濃度도 큰 差異가 있다. 따라서 이濃度를 燃燒 初期狀態(着火後 2時間 以內)와 燃燒 後期狀態(着火後 4時間 以後)로 分離하여 나타내었다. 여기에서 보듯이 表面溫度가 燃燒gas의 SOx^- 露點보다 낮으면 두 경우 모두 처음에는 黃酸蒸氣의 凝縮 시작 温度가 水蒸氣의 경우보다 높으므로 凝縮液中的 黃酸濃度가 높다가, 表面溫度가 낮아질수록 차차 水蒸氣의 凝縮이 黃酸蒸氣의 凝縮보다 相對的으로 많아지므로 黃酸濃度는 낮아진다. 한



(Fig. 10) The Relation of Surface Temperature and Concentration of H_2SO_4

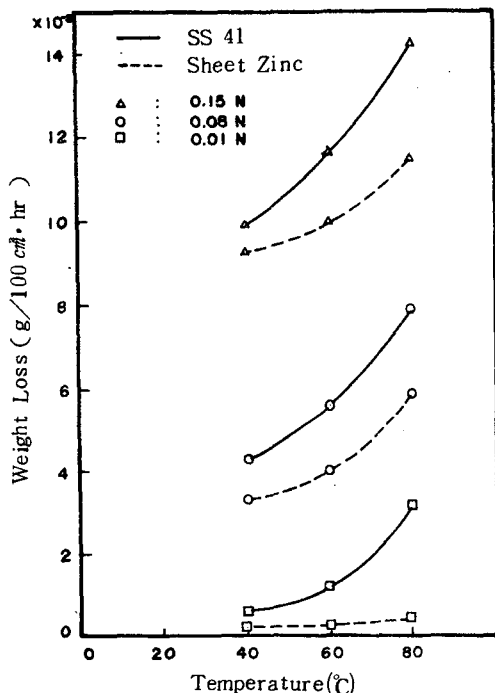
편 燃燒初期가 燃燒後期보다 凝縮液中の 黃酸濃度가 거의 2倍에 가깝도록 높은 것을 알 수가 있다.

一般的으로 凝縮液中の 黃酸濃度는 (Fig. 10)에서 보듯이 상당히 낮은 편으로 表面溫度가 增加함에 따라 거의 直線的으로 增加함으로 低温腐蝕이 일어나는 表面의 温度가 낮을수록 低温腐蝕의 觀點에서 보면 有利하다. 그런데 이 黃酸濃度가 温度에 따라 增加하여 70 °C에서 最大가 된 後 80 °C에서는 약간 떨어지는데, 그 이유는 燃燒gas가 第1凝縮器를通過할 때 갑자기 冷却되면서 생긴 안개狀態의 液滴이 Filter와 管사이의 틈새로 真空펌프의 吸引內에 의하여 빠져 나갔기 때문에 정확한 黃酸濃度를 測定하지 못한 것으로 추정된다.

V-2. 腐蝕速度

黃酸의 濃度와 低温腐蝕이 일어나는 表面溫度變化에 따른 SS41과 함석의 重量減少量을 나타내는 것이 (Fig. 11)이다. 이것으로부터 表面溫度가 높아질수록 SS41과 함석 모두 重量減少量이 커지며, SS41의 경우가 함석의 경우보다 그 減少量은 더 크다. 이는 表面溫度가 높을수록 燃燒gas의 SOx^- 露點과의 温度差異는 작아지므로 凝縮液中の 黃酸濃度는 높아지며, 나아가 凝縮된 黃酸을 含有한 凝縮液이 表面材質과 化學反應을 하는 速度가 增加하기 때문이다. 또한 黃酸腐蝕은 凝縮液中の 黃酸濃度가 40%에서 最大로 일어난다. (Fig. 2 參照). 本 實驗에서는 이 濃度보다 훨씬 낮은 黃酸濃度가 測定되었는데 ($0.74 \sim 0.05 \text{ wt. \%}$), 이 범위에서도 低温腐蝕은 黃酸濃度에 따라 현저히 增加하여 그 增加幅은 濃度增加에 따라 점점 더 커진다. (Fig. 11) 즉 黃酸濃度가 0.15 N , 表面溫度 80°C 에서의 SS41과 함석의 腐蝕速度는 각각 約 $14 \times 10^{-3} \text{ g} / 100 \text{ cm}^2 \cdot \text{hr}$, $11.5 \times 10^{-3} \text{ g} / 100 \text{ cm}^2 \cdot \text{hr}$ 이다.

며, 0.08 N, 60 °C에서는 $5.6 \times 10^{-3} g/100 cm^2 \cdot hr$, $4 \times 10^{-3} g/100 cm^2 \cdot hr$ 으로써 黃酸濃度가 0.01 N, 40 °C일 때 SS41의 腐蝕速度는 $5 \times 10^{-4} g/100 cm^2 \cdot hr$ 인 것으로부터 이들 腐蝕速度는 表面速度의 增加에 따라 상당히 커서 重量減少量이 현저히 增加하지만, 상당히 둑은 黃酸濃度인 0.01 N에서는 합成材質의 경우 減少量이 거의 無視할 만하다.



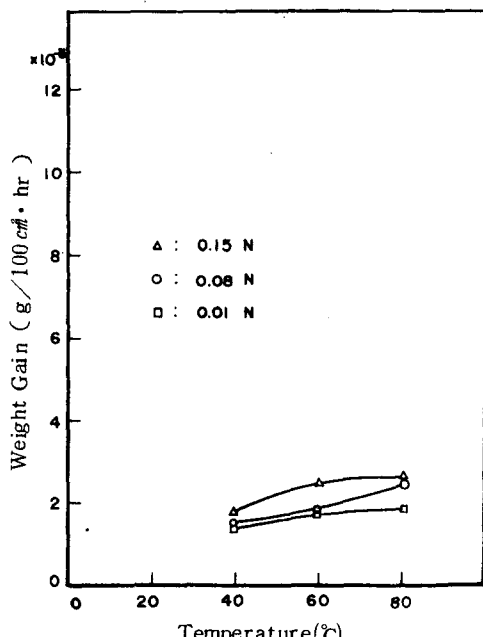
(Fig. 11) Weight Loss vs. Temperature with Various Concentration of H₂SO₄

특히 합成의 모든 温度에서 表面에 點腐蝕이 심하게 일어났으며, 0.15 N에서는 합성에 0.1 ~ 1 mm크기의 구멍이 20여개 / 50cm²가 發生할 정도이다. (Fig. 12). 이는 상당히 둑은 黃酸溶液일지라도 材質이 不均質하여 黃酸에 약한 不純物이 材質에 含有되어 있는 경우에는 그곳이 集中的으로 腐蝕되어 결국은 全體가 廉品이 될 수 있음을 暗示한다. 따라서 表面溫度를 訂 수 있는 한 낮게 유지하고 黃酸濃度가 낮으면 低溫腐蝕速度가 낮아지므로 腐蝕의 觀點에서 有利하게 된다.



(Fig. 12) Surface of Corroded Sheet Zinc

(Fig. 13)은 表面溫度와 黃酸濃度에 따른 PVC의 重量變化量을 나타내는데 이 경우 重量이 增加하는 이유는 PVC에 微細한 氣空이 있어 그 사이에 黃酸溶液이 附着되어 重量이 增加하는 것으로 생각된다. 따라서 PVC의 경우 黃酸에 의한 腐蝕은 거의 없다고 볼 수 있다. 그러나 0.15 N의 80 °C 경우 PVC는 全表面을 통해 균열이 생긴 것을 알 수 있었다. 이는 PVC材料는 温度가 上승하고 濃度가 커지면 균열에 의하여 壽命이 짧아진다는 것을 뜻한다.



(Fig. 13) Weight Gain of PVC vs. Temperature with Various Concentration of H₂SO₄

IV. 結論

煉炭 溫水보일러의 壽命에 直結되는 低温腐蝕에 關한 問題를 SOx^- 露點과 表面溫度에 따른 凝縮液의 黃酸濃度 및 腐蝕速度 測定에 의하여 얻어진 結論은 다음과 같다.

(1) 煉炭 1 장을 8 時間 燃燒시킬 때, 水蒸氣와 黃酸蒸氣의 濃度는 着火後 2 時間 정도 까지는 급격히 減少하다가 그 以後에는 거의 一定하며 그 범위는 각각 $13.5 \sim 8\%$, $64 \sim 7 \text{ ppm}$ 이다.

(2) SOx^- 露點은 水蒸氣濃度와 黃酸蒸氣의 濃度가 높은 燃燒初期(着火後 2 時間 以内)에서는 最高 154°C 로 매우 높으나, 그 以後에는 130°C 로 거의 一定하게 유지된다. 따라서 燃燒初期에는 比較的 高溫에서도 黃酸蒸氣의 凝縮에 의한 腐蝕이 일어날 수 있으므로 乾燥시킨 煉炭을 使用하면 煉炭의 热效率面은 물론이고 보일러 壽命을 延長시킬 수 있다.

(3) 보일러 内에서 燃燒gas와 접촉하는 表面溫度가 낮을수록 凝縮液중의 黃酸濃度는 점차 낮아지므로, 腐蝕의 觀點에서 볼 때 表面溫度를 낮게 煉炭 溫水보일러를 稼動시키는 것이 좋다.

(4) 表面溫度가 낮을수록 凝縮液중의 黃酸濃度가 낮아지며 低温腐蝕의 化學反應 速度가 느려져, 溫水溫度(\approx 表面溫度)를 40°C 경도의 比較的 낮은 温度로 使用하면 60°C 以上의 높은 温度로 使用하는 것보다 煉炭 溫水보일러의 壽命을 10倍 以上 延長시킬 수 있다.

參考文獻

- [1] R.E. Barrett : Trans. ASME. J. Eng. Power, 88,2, 1966
- [2] W.E. Francis : The Measurement of the Dew Point & H_2SO_4 Vapor Content of Combustion Products, Gas Research Board, 1952.
- [3] Linke, William F. : Solubilities of Inorganic & Metal Organic Compounds, Vol. 2, 4/e, 1965.
- [4] R.Haase und H.W. Borgmann : Präzisionsmessungen zur Ermittlung von Sauretaupunkten, Mitt. VGB, Heft 76, 1962.
- [5] Robert C. Weast : Handbook of Chemistry and Physics, CRC Press Inc., 1974~1975.
- [6] J.O. Chae : Einfluss der Verschmutzung des Messkopfes auf die Taupunktmessung, Diplom Arbeit, Univ. Stuttgart, 1974.
- [7] P.H. Crumley : J. Inst. Fuel, 1956, 29.
- [8] H.Wolf : Tieftemperatur Korrosionen Jahrbuch der Dampferzeugungstechnik, 1972, 2.
- [9] Uhlig : Corrosion Handbook, 5/e, John Wiley & Sons, 1955.
- [10] 金屬防蝕技術便覽, 기전연구사, 1980.